

온도-전기저항 특성 해석을 통한 CuO-SnO₂ 후막 소자의 H₂S 감지기구 고찰

유도준 · 준타마키* · 노리오 미우라* · 박순자 · 노보루 야마조에*

서울대학교 무기재료공학과

*일본 큐슈대학교

(1996년 1월 22일 접수)

Consideration on H₂S Sensing Mechanism of CuO-SnO₂ Thick Film through the Analysis of the Temperature-Electrical Resistance Characteristics

Do Joon Yoo, Jun Tamaki*, Norio Miura*, Soon Ja Park and Noboru Yamazoe*

Dept. of Inorg. Mater. Eng., Seoul Nat. Univ.

*Kyushu Univ., Japan

(Received January 22, 1996)

요 약

온도에 따르는 CuO-SnO₂ 후막 소자의 전기 저항의 변화를 H₂S 가스 분위기에서 측정하고 그 결과의 해석으로부터 H₂S 가스 감지기구를 확인하였다. CuO-SnO₂ 후막 소자의 전기저항 값은, 질소와 H₂S의 혼합 가스 분위기에서는 온도에 대해서 거의 변화가 없었던 반면 공기와 H₂S의 혼합 가스 분위기에서는 온도가 올라감에 따라서 크게 증가하였다. 그 특성을 기준에 제안된 바 있는 CuO-SnO₂ 센서의 H₂S 감지 기구를 기본 가정으로 하여 유도한 수식으로서 해석하였고, 그 결과 관찰된 실험 결과는 유도된 수식과 비교적 잘 일치하였다. 이로부터 p-n 접합에 기초한 H₂S 가스의 감지기구가 타당한 것임을 알 수 있었다. 또한, 그 수식으로부터 CuO-SnO₂ 소자의 H₂S 농도에 따르는 전기저항 변화의 거동과 그 물리적 의미 등을 해석할 수 있다.

ABSTRACT

The H₂S sensing mechanism of CuO-SnO₂ was confirmed by analyzing the electrical-resistance variation with temperature under an H₂S atmosphere. While the resistance of CuO-SnO₂ thick film at N₂+H₂S atmosphere was almost invariant with change in temperature, it increased with increasing temperature for air+H₂S atmosphere. This behavior was analyzed using an equation derived from a basic assumption based on the H₂S sensing mechanism proposed before. The experimental results are sufficiently explained with the equation derived, which showed that the H₂S sensing mechanism was reasonable. The equation also gave a detailed analysis and physical meaning to the behavior of the resistance variation with change in H₂S concentration.

Key words: CuO, SnO₂, Gas sensor, H₂S, Sensing mechanism, p-n junction

1. 서 론

지금까지 개발되어 온 가스 센서는 어떠한 가스에 의한 폭발이나 중독등의 위험을 알리기 위한 경보기와 같은 비교적 단순한 기능에 응용되어져 왔으나, 최근에 와서는 보다 지능화하고 성능이 높은 센서의 개발에 초점이 맞추어지고 있다. 그에 따라서 H₂, CO, LPG, LNG와 같은 비교적 제한된 대상가스의 종류에서 최근에는 SO_x, NO_x,

CO₂와 같은 환경 문제에 관계된 가스와¹⁻³⁾ NH₃, TMA, H₂S 등과 같은⁴⁻¹⁰⁾ 냄새를 유발하는 가스들로 그 종류가 매우 다양화되고 있는 추세이다. 이와 같은 대상 가스의 다양화와 함께 센서의 고성능화 즉 고감도와 고선택성을 가지는 센서에 관한 연구도 활발히 진행되고 있으며, 이러한 경향은 n형 산화물 반도체를 이용하는 연구에서도 뚜렷히 나타나고 있다. 센서 재료로 쓰이는 n형 산화물 반도체 중에서 가장 대표적인 것은 SnO₂라 할

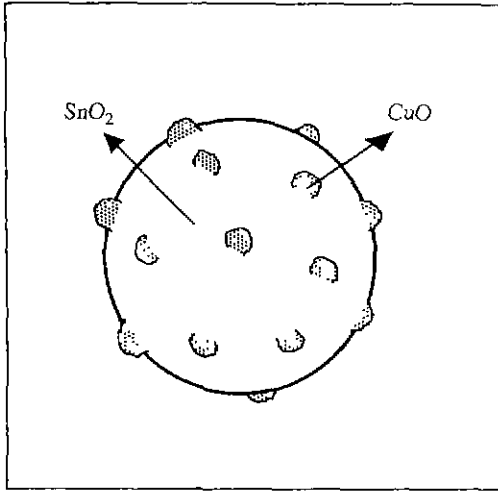


Fig. 1. Assumed structure of CuO loaded SnO₂ particle.

수 있다. SnO₂는 큰 기공률과 미세한 입자등 가스 센서로 사용되기에 매우 적합한 특성을 가지고 있으며 많은 종류의 가스에 높은 감도를 보이는 반면, 선택성이 나쁜 것이 가장 큰 단점이다. 이러한 단점은 다른 금속 산화물이나 귀금속등을 첨가함으로써 어느 정도 보완될 수 있으나 뛰어난 선택성을 가지기는 매우 힘든 것으로 알려져 왔다. 그러나 최근에 본 연구 그룹에 의해서 개발된 CuO-SnO₂에 의한 H₂S 감지 시스템은 산화물 반도체를 이용하는 가스 센서에 있어서도 선택성이 나쁘다는 단점이 극복될 수 있다는 가능성을 보여준다¹⁸⁾. 보고된 바와같이 CuO-SnO₂ 소자는 50 ppm의 저농도 H₂S 가스에 대해서도 대단히 큰 감도를 보이며 그 선택성 역시 매우 좋다. 그러나 뛰어난 H₂S 감지 특성은 다음과 같은 CuO-SnO₂ 소자의 독특한 H₂S 감지 기구에 그 원인이 있는 것으로 제안된 바 있다¹⁸⁾. 먼저, CuO-SnO₂ 분말은 CuO 입자가 SnO₂ 결정립 위에 분산되도록 첨가하여 제작하는데 하나의 CuO-SnO₂ 입자의 개략적 구조는 Fig. 1에 나타난 바와같이 생각할 수 있다. 그런데 CuO와 SnO₂는 각각 p, n형 반도체이므로 그들의 계면에서는 p-n 접합에 의한 전자 공핍층이 형성되게 되므로 CuO-SnO₂ 입자들로 이루어진 센서 소자는 매우 큰 전기저항을 나타내게 된다. 그러나 이소자가 H₂S gas와 접촉하게 되면 CuO가 가스와의 반응에 의하여 CuS로 바뀔 수 있는데, CuS는 전기전도도가 금속성의 물질이기 때문에 그 계면에 형성되어 있던 전자 공핍층은 완전히 없어지게 되며 따라서 센서 소자의 전기저항은 급격히 감소하게 된다. 이러한 원리로 CuO-SnO₂ 소자의 H₂S에

대한 감도는 매우 크게 되며, CuO가 H₂S에만 반응하므로 선택성 또한 대단히 좋아진다.

그러나, CuO-SnO₂ 소자를 이용한 H₂S 센서에 관한 지금까지의 연구는 CuO의 첨가방법이나¹⁹⁾ 소자의 막막 화등에²⁰⁾ 의한 센서의 성능 향상에 관해서만 진행되어 왔을 뿐 감지 기구등을 포함한 전반적인 전기적 특성과 이론적 고찰등은 아직까지 그 연구가 매우 미흡하다. 본 연구에서는 CuO-SnO₂ 소자의 기본적인 전기적 특성중의 하나인 온도에 따르는 전기저항의 변화를 다양한 측정 조건에서 살펴보고, 그 결과를 앞에서 언급한 CuO와 H₂S의 화학 반응에 기반하여 유도한 수식으로서 설명하였다. 이로부터 기존에 제안된 CuO-SnO₂ 소자의 H₂S 감지 기구에 대한 증명을 시도하였다.

2. 실험방법

센서 소자의 제작은 먼저 SnO₂ 분말을 제작하고 CuO를 첨가하는 순서로 진행되었다. SnO₂ 분말은 일반적으로 많이 사용되고 있는 수화물법에 의해서 제작하였으며, SnCl₄ 수용액을 암모니아수로 중화시켜 얻은 Sn(OH)₄ 침전물을 900°C에서 4시간 하소하여 준비하였다. SnO₂에 대한 CuO의 첨가법으로는 화학 고정법(chemical fixation method)을 사용하였다. 이 방법은 CuO를 SnO₂ 표면위에 거의 분자 단위로 매우 미세하게 분포시킬 수 있는 방법으로 가스 감응 특성의 향상에 매우 큰 효과가 있는 것으로 알려져 있으며²¹⁾, CuO 이외에 Pd의 첨가법으로도 이미 그 효과가 입증된 바 있다²²⁾. 이 방법은 다음과 같은 순서로 진행되었다. 먼저 0.05 mol·dm⁻³의 CuCl₂와 1 mol·dm⁻³의 암모늄 아세테이트(CH₃CO₂NH₄) 혼합 수용액(pH 6)을 준비한 후 이 용액에 SnO₂ 분말을 넣고 상온에서 24시간동안 교반하였다. 그 후 이것을 여과하고 증류수로 1회 세척한 후 100°C에서 24시간 건조하고 600°C에서 30분간 하소한 후 분쇄하여 최종적인 CuO-SnO₂ 분말을 얻었다. 이때, 첨가되는 CuO의 양을 적게하기 위하여 위의 CuCl₂와 CH₃CO₂NH₄ 혼합 수용액에 HCl을 넣어서 pH를 4 또는 2로 낮추기도 하였다. 최종적으로 얻어진 CuO-SnO₂ 분말에서의 CuO 함량은 X-ray fluorescence analyser에 의해서 측정되었으며 pH 2, 4, 6의 용액들로부터 얻어진 CuO의 양은 각각 0.091, 0.15, 0.42 wt%였다. 이렇게 얻어진 분말에 소량의 증류수를 혼합하여 슬러리를 제조한 후, comb 형상의 금 전극이 코팅되어 있는 알루미늄 기판위에 실크 프린팅하고 건조한 후 600°C에서 30분간 하소하여 후막 소자를 제작하였다.

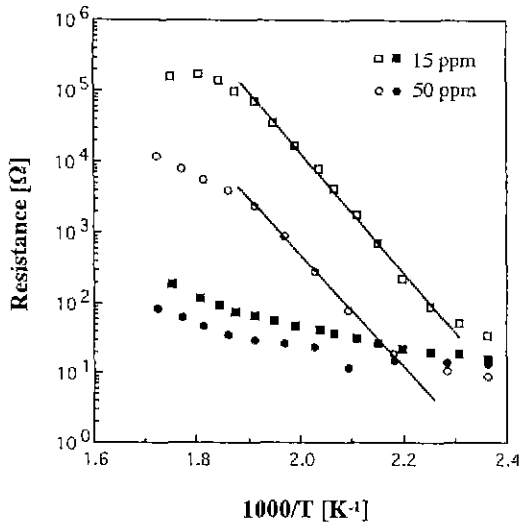


Fig. 2. Resistance of 0.41 wt% CuO-SnO₂ (open) and SnO₂ (closed) elements as a function of temperature in air mixed with various concentration of H₂S.

소자의 전기 저항은, 소자를 H₂S와 공기(또는 질소)의 혼합 가스가 200 cc/min의 유량으로 흐르는 석영 유리관(내경 2 cm) 안에 위치시켜서 측정하였다 측정 온도는 그 석영 유리관을 전기로 안에 위치시켜서 조절하였다.

3. 결과 및 고찰

Fig. 2는 공기와 H₂S 혼합 가스 존재하에서의 SnO₂와 CuO-SnO₂ 소자의 온도에 따르는 저항의 변화를 보여 준다. 그림에서 보는 바와같이 두 소자 모두 온도가 올라가면 저항이 증가하는 경향을 보이지만 저항 증가 양상은 CuO-SnO₂ 소자가 훨씬 크다는 것을 알 수 있다. 즉, 측정된 온도범위인 150℃에서 300℃까지 SnO₂ 소자의 저항은 약 5배 정도 증가한 반면 CuO-SnO₂ 소자는 최대 1000배까지의 매우 큰 저항 증가를 보였다. 이미 보고된 바와같이 H₂S가 없는 순수한 공기중에서는 온도의 증가에 따라서 저항이 감소하는 반면 H₂S의 존재하에서는 위와같이 저항 증가라는 정반대의 현상을 보인다^{5,6)}. 하지만 아직 그러한 현상에 대한 원인은 제시되어 있지 않다. 서론에서 언급한 바와같이 H₂S의 CuO와의 화학 반응을 통해서 CuO-SnO₂의 전기저항이 크게 낮아지는 것으로 추측되고 있으며, 이러한 가정을 바탕으로 위와 같은 현상을 온도의 증가에 따르는 화학 반응의 변화로서

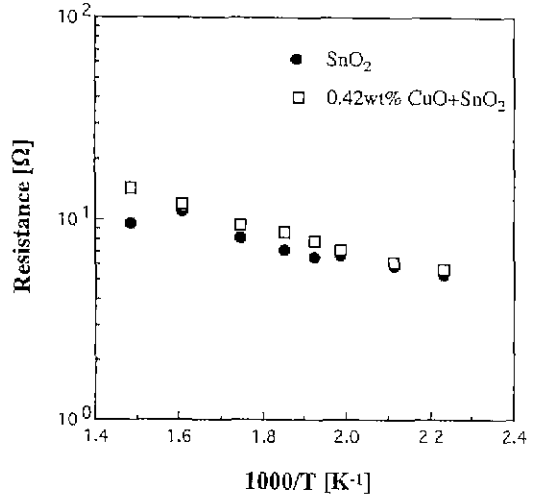
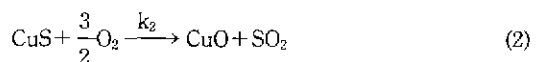
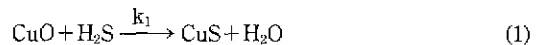


Fig. 3. Resistance of 0.41 wt% CuO-SnO₂ and SnO₂ elements as a function of temperature in N₂ mixed with 15 ppm H₂S.

설명하는 것이 가능하다. 즉, 온도가 증가함에 따라 반응에 의해서 생성되는 최종적인 CuS의 양이 감소하면서 상대적으로 저항이 증가하는 것으로 생각할 수 있으며 이러한 가정은 Fig. 3의 결과로부터 그 타당성이 입증된다. Fig. 3은 질소로 희석된 H₂S 분위기에서 온도에 따르는 저항의 변화를 보여준다. 그림에서 알 수 있듯이 공기 즉 산소가 함유되어 있는 분위기의 결과인 Fig. 2와는 달리 산소가 없는 경우에는 온도에 따르는 저항의 변화가 거의 없다. 이것은, 저항 감소를 유발하는 CuO와 H₂S의 반응과 저항 증가를 유발하는 CuS와 O₂의 반응이 각각 상이한 온도 의존성을 가지고 있다는 것을 의미한다. 즉, 온도가 증가하면 후자의 반응 속도가 전자의 것보다 커져서 결과적으로 CuO의 양이 증가하여 저항이 커지는 것으로 이해할 수 있으며, 이러한 추측은 산소가 없는 경우인 Fig. 3의 결과에 의해서 뒷받침 된다.

위와같은 가정을 배경으로 H₂S 존재하에서 CuO-SnO₂ 소자의 온도에 따르는 저항의 변화를 다음과 같이 정량적인 수식으로서 유도해 낼 수 있다. 먼저, 위에서 가정된 화학반응들은 다음의 (1)과 (2) 식으로서 나타낼 수 있다.



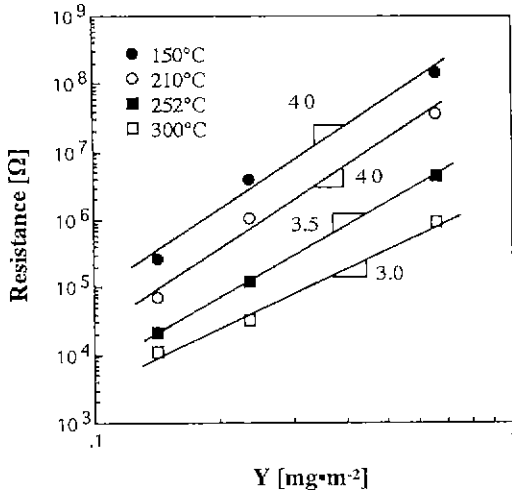


Fig. 4. Resistance of CuO-SnO₂ element as a function of the amount of CuO per unit SnO₂ surface area (Y) at various temperature in air

k_2, k_2' : 반응 (1), (2)의 반응속도 상수

그런데 위에서 언급한 바와같이, 화학 고정법은 첨가제를 거의 분자 단위로 매우 미세하고 균일하게 분포시킬 수 있는 방법이므로, 첨가된 CuO는 SnO₂ 입자 표면에 monolayer로 존재한다고 가정할 수 있다. 그러면, H₂S와의 반응중의 CuS와 CuO의 생성 속도는 각각 식 (3)과 (4)로서 나타낼 수 있다.

$$\frac{dN_{CuS}}{dt} = k_1 N_{CuO} P_{H_2S}^\alpha \quad (3)$$

$$\frac{dN_{CuO}}{dt} = k_2 N_{CuS} P_{O_2}^\beta \quad (4)$$

이때, N_x 는 첨가된 CuO의 전체 몰 수(반응 이전 초기 상태의 CuO몰 수)에 대한 반응 생성된 X의 몰수 비를 나타낸 것이며, α, β 는 반응이 power law를 따른다고 가정했을 때의 지수를 나타낸다. 식 (1), (2)의 반응이 평형 상태에 도달하였을 때 식 (3)과 (4)의 생성 속도는 같아지므로 이로부터 식 (5)를 얻을 수 있다.

$$\frac{1}{N_{CuO}} - 1 = \frac{k_1 P_{H_2S}^\alpha}{k_2 P_{O_2}^\beta} = A \frac{P_{H_2S}^\alpha}{P_{O_2}^\beta} \exp\left[\frac{Q_2 - Q_1}{kT}\right] \quad (5)$$

여기서 A는 상수이며 Q_1, Q_2 는 각각 식 (1)과 (2) 반응에서 반응 속도 상수 k의 활성화 에너지를 나타낸다.

위의 식 (5)를 본 연구의 결과에 적용시키기 위해서는 N_{CuO} 와 소자의 전기저항 사이의 관계를 알아야만 한다.

이 관계를 이론적으로 유도하기는 매우 어렵기 때문에 실험적으로 얻어지는 경험식을 구하기 위하여, 본 연구의 측정 범위내에서 CuO의 첨가량에 따르는 전기저항의 변화를 살펴보았다(Fig. 4). 이때, CuO의 첨가량은 첨가된 무게를 SnO₂의 비표면적(64 m²/g)으로 나누어 환산하여 SnO₂의 단위 표면적당 CuO 첨가량이 되도록 하였다. 그림에서 보는 바와같이 log plot 상에서의 기울기값은 210°C부터 온도가 증가하면서 감소하는 경향을 보이지만 비교적 좋은 직선상을 보였으며 그 값은 3~4의 범위에 있었다. 따라서, SnO₂ 표면에 대한 CuO의 몰 수비 (θ_{CuO})와 소자의 전기저항 사이의 관계는 다음의 식 (6)으로 나타낼 수 있다. 이때 R_0 는 CuO가 첨가되지 않은 순수한 SnO₂의 저항, 즉 $\theta_{CuO}=0$ 일 때의 소자의 저항을 나타낸다.

$$\log[R - R_0] = a \log \theta_{CuO} + \text{const} \quad (6)$$

한편,

$$N_{CuO} = \frac{\theta_0}{\theta_{CuO}} \quad (7)$$

이므로, N_{CuO} 가 1보다 아주 작을 경우의 제한 조건 하에서 소자의 전기저항과 온도와의 관계는 식 (5), (6), (7)로부터 다음의 식 (8)로 나타낼 수 있다.

$$\log[R - R_0] = A' - a \log P_{H_2S} - a \frac{[Q_2 - Q_1]}{kT} \quad (8)$$

A': constant

위의 식 (8)은 Fig. 2에서 보여지는 직선부분의 영역을 잘 설명하여 준다. 즉, 반응 (2)는 반응 (1)보다 높은 Q 값을 가지기 때문에 온도의 증가에 따르는 반응 생성물의 생성 속도가 커진다고 생각할 수 있고, 결국 최종적인 CuO 량은 온도의 상승에 따라서 많아질 것으로 추측할 수 있으며, 이것이 식 (8)을 따르는 전기저항의 온도 의존성을 유발한다고 설명할 수 있다. 이러한 사실은 결과적으로 식 (1), (2)와 같은 화학 반응이 실제로 일어나고 있음을 보여주며 따라서 위에서 언급한 CuO-SnO₂의 H₂S 감지 기구가 타당하다는 것을 말해준다. 한편 Fig. 2에서 직선이 아닌 두개의 온도 영역은 다음과 같이 설명할 수 있다. 먼저, 낮은 온도 영역(150~180°C)의 비직선 영역은 R_0 항으로부터 기인한다고 할 수 있다. 즉 식 (8)은 $R - R_0$ 와 온도와의 관계적인 반면 Fig. 2의 결과는 R과 온도와의 관계를 나타내 주는 것이니, R과 R_0 의 차이가 매우 적어서 R_0 값을 무시할 수 없는 온도 영역에서는 그에 대한 보정이 필요하게 된다. 위에서

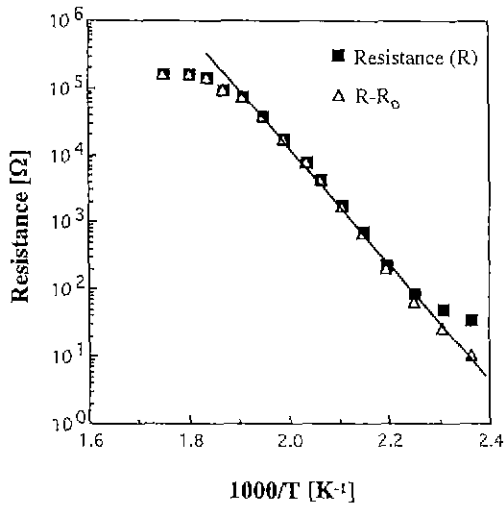


Fig. 5. Resistance Correction of 0.41 wt% CuO-SnO₂ element with R₀ (30 Ω) value (15 ppm H₂S in air).

언급한 바와 같이 R₀는 CuO가 첨가되어 있지 않은 순수한 SnO₂의 주어진 조건하에서의 전기저항을 나타내는데, 이 값은 실험적으로 얻어질 수 있다. 하나의 예로서 Fig. 5에 15 ppm H₂S에서의 경우를 살펴보았다. 주어진 온도 영역에서 R₀ 값은 대략 30~80 Ω의 범위안에 있는데 그중 30 Ω의 값을 취하여 R-R₀로 다시 그려보면 그림에서와 같이 그 온도 영역에서도 거의 직선성을 나타낸다. 물론 R₀ 값의 선택에 있어서 어떠한 특별한 기준이 있는 것이 아니어서 절대적이라고는 할 수 없지만, Fig. 5의 예는 위와같은 설명도 충분히 가능하다는 것을 보여준다. 한편 높은 온도 영역(250°C 이상)의 비직선 부분은, 식 (8)을 유도하는 과정에서 설정하였던 N_{CuO}가 1보다 아주 작을 때라는 제한 조건이 무너지면서 유발되는 것으로 생각할 수 있다. 즉, 그 온도 영역에서는 저항이 매우 커졌는데 이것은 N_{CuO} 값이 상당량 커졌다는 사실을 의미하며 따라서 위의 제한 조건은 적용할 수 없게 된다. 이것을 확인하기 위하여, 식 (5)에서 Log[1/N_{CuO}-1]과 1/T의 관계가 직선을 나타낸다고 하였을 때의 log N_{CuO}와 1/T의 관계를 컴퓨터 시뮬레이션 하였다. 그 결과 Fig. 6에서 보는 바와 같이 온도가 올라가면서 처음에는 직선성을 보이다가 직선의 밑쪽으로 이탈함을 알 수 있었으며, 이러한 경향은 Fig. 2의 실험 결과와 거의 일치하며 따라서 위와 같은 설명이 타당하다는 것을 알 수 있다.

이상의 논의로부터 CuO-SnO₂ 소자의 H₂S 감지기구는 식 (1), (2)의 반응에 의한 것임을 알 수 있었으며, 아

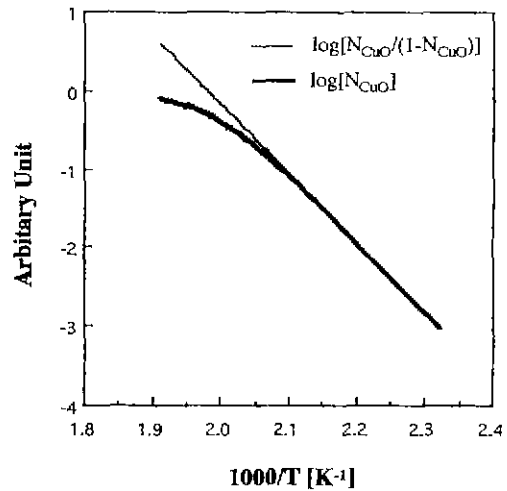


Fig. 6. Simulation of N_{CuO} as a function of temperature in air mixed with H₂S.

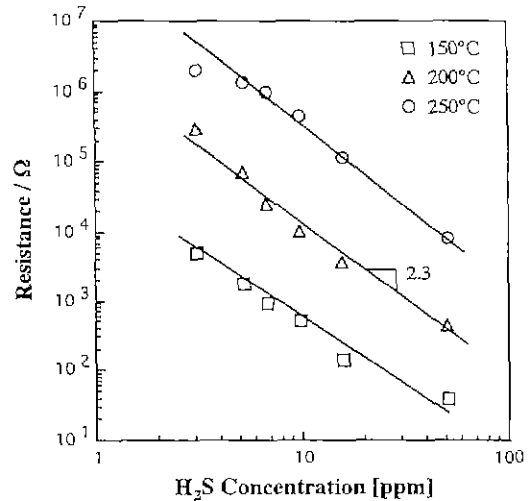


Fig. 7. Resistance of 0.42 wt% CuO-SnO₂ element as a function of H₂S concentration in air at various temperatures.

울러서 CuO-SnO₂ 소자의 공기와 H₂S의 혼합 가스하에서의 전기저항의 온도 의존성을 식 (8)로부터 정량적으로 살펴보았다. 그런데 식 (8)은 위와 같은 것들 이외에 저항의 H₂S 농도 의존성(즉 H₂S 농도에 따르는 감도 변화)에 대한 구체적인 정보도 제공한다. 즉, 식 (8)에 의하면 CuO-SnO₂의 저항은 H₂S의 농도에 대해서 log plot 상에서 직선적으로 비례하게 되며 이것은 Fig. 7의 실험 결과와 비교적 일치한다. 그 직선의 기울기는 주어진 온도 범위에서 2.3 정도로 거의 비슷한 값을 가지며,

250°C의 저 농도 영역의 비직선 부분은 위에서 언급한 Fig. 2의 고온에서의 비직선성에 대한 설명과 같은 방식으로, 수식 유도상에서 설정한 제한 조건이 적용될 수 없기 때문인 것으로 이해할 수 있다. 일반적으로, SnO₂를 모체로 하는 가스센서의 전기저항은 가스의 농도에 대해 log plot 상에서 직선적으로 비례하는 것으로 알려져 있으며 그 기울기 값은 센서의 성능을 나타내는 중요한 인자로서 그 절대값이 클수록 고성능의 센서라고 할 수 있으나, 그러한 저항의 가스 농도 의존성에 대한 이론적 해석은 아직 미진하다. 그러나 본 연구의 경우는 식 (8)로서 그 정량적 해석이 가능하다. 즉 CuO-SnO₂ 소자 저항의 H₂S 가스 농도 의존도를 나타내는 Fig. 7에서의 직선의 기울기는 식 (8)에서 알 수 있듯이 저항의 CuO 함량 의존도 (a)와 CuO에 대한 H₂S의 반응 지수 (α)에 비례한다. 참고적으로, Fig. 7로부터 얻어지는 직선의 기울기 값과 Fig. 4의 결과로부터 얻어지는 a 값으로부터 α를 계산하면 대략 0.6 정도가 되며 이 값은 반응식 (1)로부터 판단해 볼 때 비교적 타당한 값으로 볼 수 있다. 따라서, 이것으로부터 식 (1), (2)와 같은 화학 반응이 실제로 일어난다는 사실을 다시 한번 입증할 수 있을 것으로 보인다.

4. 결 론

CuO-SnO₂ 소자의 H₂S 감지는 CuO와 H₂S의 화학 반응에 의해서 일어난다는 기존에 보고된 가설을 바탕으로, 그 소자의 전기저항을 나타내는 수식을 온도와 H₂S 가스의 농도에 대한 함수로 유도하였다. 그렇게 유도된 식은 실험 결과와 거의 일치하였으며, 이로부터 전기저항의 H₂S 농도 의존성에 대한 구체적 정보를 얻을 수 있었고 기존에 보고된 CuO-SnO₂ 소자의 H₂S 감지 기구에 대한 가설을 증명할 수 있었다.

REFERENCES

1. Y. Yan, Y. Shimizu, N. Miura, and N. Yamazoe, "Solid-

State Sensor for Sulfur Oxides Based on Stabilized Zirconia and Metal Sulphate," *Chem. Lett.*, **1992**, 635 (1992).

2. S. Yao, Y. Shimizu, N. Miura, and N. Yamazoe, "Use of Sodium Nitrate Auxiliary Electrode for Solid Electrolyte Sensor to Detect Nitrogen Oxides," *Chem. Lett.*, **1992**, 587 (1992).

3. S. Yao, Y. Shimizu, N. Miura, and N. Yamazoe, "Solid Electrolyte Carbon Dioxide Sensor Using Sodium-Ion Conductor and Li₂CO₃-BaCO₃ Electrode," *Jpn. J. Appl. Phys.*, **31**, L197 (1992).

4. T. Maekawa, J. Tamaki, N. Miura, and N. Yamazoe, "Gold-Loaded Tungsten Oxide Sensor for Detection of Ammonia in Air," *Chem. Lett.*, **1992**, 639 (1992).

5. M. Egashira, Y. Shimizu, and Y. Takao, "Trimethylamine Sensor Based on Semiconductive Metal Oxide for Detection of Fish Freshness," *Sensors and Actuators*, **B1**, 108 (1990).

6. T. Maekawa, J. Tamaki, N. Miura, and N. Yamazoe, "Sensing Behavior of CuO-SnO₂ Element for H₂S Detection," *Chem. Lett.*, **1991**, 575 (1991).

7. T. Maekawa, J. Tamaki, N. Miura, and N. Yamazoe, "Improvement of Copper Oxide Sensor for Dilute Hydrogen Sulfide," *J. Mater. Chem.*, **4**, 1259 (1994).

8. J. Tamaki, T. Maekawa, N. Miura, and N. Yamazoe, "CuO-SnO₂ Element for Highly Sensitive and Selective Detection of H₂S," *Sensors and Actuators*, **B9**, 197 (1992).

9. D.J. Yoo, J. Tamaki, N. Miura, S.J. Park, and N. Yamazoe, "Copper Oxide-Loaded Tin Dioxide Thin Film for Detection of Dilute Hydrogen Sulfide," *Jpn. J. Appl. Phys.*, **34**, L455 (1995).

10. D.J. Yoo, J. Tamaki, N. Miura, S.J. Park, and N. Yamazoe, "H₂S Sensing Characteristics of SnO₂ Thin-Film Prepared from SnO₂ Sol by Spin-Coat Method," *J. Mater. Sci. Lett.*, **14**, 1391 (1995).

11. N. Yamazoe, S. Matsushima, T. Maekawa, J. Tamaki and N. Miura, "Control of Pd Dispersion in SnO₂-Based Sensors," *Catal. Sci. Technol.*, **1**, 201 (1991).